

קוונטים 2 – תרגול 3

סימטריות רציפות וסיבובים

מתרגל: זמיר הלר-אלגזי

תוכן העניינים

2	1 תזכורת – טרנספורמציות רציפות
4	2 סיבובים

1 תזכורת – טרנספורמציות רציפות

תחת טרנספורמציה U (אוניטרית או אנטי-אוניטרית), מצבים $|\psi\rangle$ במרחב הילברט עוברים טרנספורמציה כך,

$$U : |\psi\rangle \longrightarrow |\psi'\rangle = U |\psi\rangle \quad (1.1)$$

ואילו אופרטורים O יעברו טרנספורמציה כך

$$U : O \longrightarrow O' = UOU^\dagger \quad (1.2)$$

אופרטור O הוא אינווריאנטי אם $O' = O \iff [O, U] = 0$. טרנספורמציה **סימטרית** משאירה את ההמילטוניאן אינווריאנטי, ומקיימת

$$[H, U] = 0 \quad (1.3)$$

נבחן טרנספורמציות רציפות $U(\theta)$ עם פרמטר רציף θ . ב- $\theta = 0$ הטרנספורמציה לא משנה כלום ושקולה לטרנספורמציה הזהות,

$$U(0) = 1 \quad (1.4)$$

הודות לרציפות ב- θ , אנחנו יכולים כעת לפתח את U אינפיניטסימלית סביב 0 עם פרמטר $\epsilon \ll 1$ ולכתוב

$$U(\epsilon) \simeq 1 - \frac{i\epsilon}{\hbar} G \quad (1.5)$$

כאשר G אופרטור כלשהו. $U(\epsilon)$ הוא אופרטור אוניטרי ולכן

$$1 = U(\epsilon) U^\dagger(\epsilon) \simeq \left(1 - \frac{i\epsilon}{\hbar} G\right) \left(1 + \frac{i\epsilon}{\hbar} G^\dagger\right) = 1 - \frac{i\epsilon}{\hbar} (G - G^\dagger) + O(\epsilon^2) \quad (1.6)$$

לכן G חייב להיות אופרטור הרמיטי, $G = G^\dagger$, והוא נקרא **היוצר ההרמיטי** של הטרנספורמציה $U(\theta)$. הטרנספורמציה $U(\theta)$ היא הרכבה של N טרנספורמציות אינפיניטסימליות $U(\epsilon)$ עם פרמטר $\epsilon = \theta/N$. בגבול הרצף ניקח $N \rightarrow \infty$, ולכן

$$U(\theta) = \lim_{N \rightarrow \infty} [U(\theta/N)]^N = \lim_{N \rightarrow \infty} \left[1 - \frac{1}{N} \frac{i\theta}{\hbar} G\right]^N = e^{-i\theta G/\hbar} \quad (1.7)$$

הטרנספורמציה הרציפה U היא אסקפוננט של היוצר ההרמיטי G . המערכת סימטרית תחת טרנספורמציה רציפה אם

$$[H, G] = 0 \quad (1.8)$$

במקרה זה היוצר הוא גדול שמור,

$$\frac{dG}{dt} = 0 \quad (1.9)$$

תרגיל 1

מצאו את היוצר של טרנספורמציות גליליי הקוונטיות $\mathcal{B}(v)$ במימד אחד.

נמצא את $\mathcal{B}(v)$ מפעולת של טרנספורמציות גליליי על אופרטורי המיקום והתנע. לאחר הפעלת $\mathcal{B}(v)$ על חלקיק עם מסה m המיקום והתנע החדשים שנמדוד הם

$$\begin{cases} x \longrightarrow x' = \mathcal{B}(v) x \mathcal{B}^\dagger(v) = x - vt \\ p \longrightarrow p' = \mathcal{B}(v) p \mathcal{B}^\dagger(v) = p - mv \end{cases} \quad (1.10)$$

הפרמטר של הטרנספורמציה הוא המהירות v , ונסמן את היוצר שלה ב- G כך שהטרנספורמציה המלאה היא $\mathcal{B}(v) = \exp(-ivG/\hbar)$. נפרק אותה לטרנספורמציות איפיניטסימליות עם מהירות $v = \epsilon$, $\mathcal{B}(\epsilon) \simeq 1 - i\epsilon G/\hbar$ ונפעיל אותה על x :

$$\mathcal{B}(\epsilon) x \mathcal{B}^\dagger(\epsilon) \simeq \left(1 - \frac{i\epsilon}{\hbar} G\right) x \left(1 + \frac{i\epsilon}{\hbar} G\right) = x + \frac{i}{\hbar} \epsilon [x, G] + \mathcal{O}(\epsilon^2) = x - \epsilon t \quad (1.11)$$

(זה בסה"כ האיבר הראשון בנוסחת BCH). נשווה את שני האגפים בסדר $\mathcal{O}(\epsilon)$ ונקבל:

$$[x, G] = i\hbar t \implies G = pt + f(x) \quad (1.12)$$

זכרו שבבסיס התנע $[x, F] = i\hbar \frac{\partial F}{\partial p}$. כעת נפעיל את הטרנספורמציה על p ונקבל

$$\mathcal{B}(\epsilon) p \mathcal{B}^\dagger(\epsilon) \simeq \left(1 - \frac{i\epsilon}{\hbar} G\right) p \left(1 + \frac{i\epsilon}{\hbar} G\right) = p + \frac{i}{\hbar} \epsilon [p, G] + \mathcal{O}(\epsilon^2) = p - m\epsilon \quad (1.13)$$

נשווה את שני האגפים בסדר $\mathcal{O}(\epsilon)$ ונקבל:

$$[p, G] = i\hbar m \implies G = -mx + g(p) \quad (1.14)$$

זכרו שבבסיס המיקום $[p, F] = -i\hbar \frac{\partial F}{\partial x}$. נשווה את שני הביטויים לקבלת היוצר

$$\boxed{G = pt - mx} \quad (1.15)$$

2 סיבובים

נניח שאנחנו מסובבים את מערכת הצירים בזווית φ סביב ציר \hat{n} . במרחב הממשי \mathbb{R}^3 הטרנספורמציה הזו נעשית באמצעות מטריצת הסיבוב $R_{3 \times 3}$. במרחב הילברט אופרטור הסיבוב $\mathcal{D}(\hat{n}, \varphi)$ מיישם את הסיבוב R על המצבים הקוונטים

$$|\alpha'\rangle = \mathcal{D}(\hat{n}, \varphi) |\alpha\rangle \quad (2.1)$$

שלעיתים מסומנת $\mathcal{D}(R)$. שימו לב ש- R ו- $\mathcal{D}(R)$ פועלים במרחבים שונים; נבחר למשל $\hat{n} = \hat{z}$. במרחב \mathbb{R}^3 זו מטריצת הסיבוב המוכרת

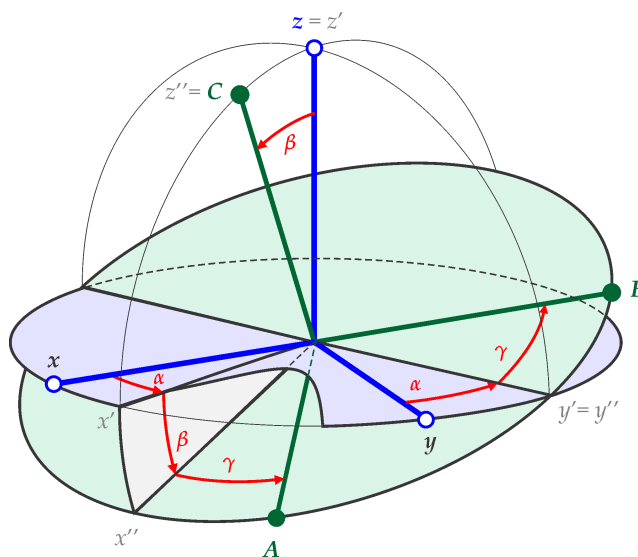
$$R = \begin{pmatrix} \cos \theta & -\sin \theta & 0 \\ \sin \theta & \cos \theta & 0 \\ 0 & 0 & 1 \end{pmatrix} \quad (2.2)$$

בבסיס המלכסן את J_z , הסיבוב במרחב הילברט מיוצג על-ידי מטריצה $\infty \times \infty$

$$\mathcal{D}(\hat{z}, \theta) = \exp \left[-i \frac{\theta}{\hbar} J_z \right] = \begin{pmatrix} |0,0\rangle & |\frac{1}{2}, \frac{1}{2}\rangle & |\frac{1}{2}, -\frac{1}{2}\rangle & |1,1\rangle & |1,0\rangle & |1,-1\rangle & \dots \\ \langle 0,0| & 1 & & & & & \\ \langle \frac{1}{2}, \frac{1}{2}| & & e^{-i\theta/2} & & & & \\ \langle \frac{1}{2}, -\frac{1}{2}| & & e^{i\theta/2} & & & & \\ \langle 1,1| & & & e^{-i\theta} & & & \\ \langle 1,0| & & & & 1 & & \\ \langle 1,-1| & & & & & e^{i\theta} & \\ \vdots & & & & & & \ddots \end{pmatrix} \quad (2.3)$$

סיבוב כללי בזווית φ סביב הציר \hat{n} ניתן לפירוק לשלושה סיבובים המאופיינים על-ידי **זווית אוילר**,

$$R(\alpha, \beta, \gamma) = R_{z'}(\gamma) R_{y'}(\beta) R_z(\alpha) \quad (2.4)$$



איור 1: זווית אוילר בייצוג הסטנדרטי $R(\alpha, \beta, \gamma) = R_{z'}(\gamma) R_{y'}(\beta) R_z(\alpha)$. להמחשה, הקליקו כאן.

בייצוג הזה אנחנו מסובבים את מערכת הצירים ביחס לצירים המסובבים y' ו- z' . נעדיף להשתמש בייצוג השקול שם צירי הסיבוב קבועים,

$$R(\alpha, \beta, \gamma) = R_z(\alpha) R_y(\beta) R_z(\gamma) \quad (2.5)$$

מכאן שהסיבוב מיושם במרחב הילברט על-ידי

$$\mathcal{D}(\hat{\mathbf{n}}, \varphi) = \mathcal{D}(\hat{\mathbf{z}}, \alpha) \mathcal{D}(\hat{\mathbf{y}}, \beta) \mathcal{D}(\hat{\mathbf{z}}, \gamma) = e^{-i\frac{\alpha}{\hbar} J_z} e^{-i\frac{\beta}{\hbar} J_y} e^{-i\frac{\gamma}{\hbar} J_z} \quad (2.6)$$

נמצא את הייצוג שלה בבסיס מצבי התנ"ז $|j, m\rangle$.

$$\langle j', m' | \mathcal{D}(R) | j, m \rangle = \langle j', m' | e^{-i\frac{\alpha}{\hbar} J_z} e^{-i\frac{\beta}{\hbar} J_y} e^{-i\frac{\gamma}{\hbar} J_z} | j, m \rangle \quad (2.7)$$

זו חייבת להיות מטריצת בלוקים עם j קבוע, כלומר אלמנט המטריצה מתאפס בהכרח אם $j' \neq j$! סיבוב לא מערבב בין תתי-מרחבים עם j שונה. פיזיקלית אנחנו מבינים שסיבובים במרחב לא משנים את התנ"ז הכולל j , ומתמטית אנחנו רואים ש- \mathcal{D} מורכב מאופרטורים J_y, J_z שלא משנים את j ב- $|j, m\rangle$ כי $[J^2, \mathbf{J}] = 0$.

$$\langle j', m' | \mathcal{D}(R) | j, m \rangle = \begin{pmatrix} \boxed{\mathcal{D}_{m',m}^{(0)}} & & & \\ & \boxed{\mathcal{D}_{m',m}^{(1/2)}} & & \\ & & \boxed{\mathcal{D}_{m',m}^{(1)}} & \\ & & & \ddots \end{pmatrix} \quad (2.8)$$

נסמן כל בלוק של $\mathcal{D}(R)$ על-ידי ערך ה- j שלו:

$$\begin{aligned} \mathcal{D}_{m',m}^{(j)} &= \langle j, m' | e^{-i\frac{\alpha}{\hbar} J_z} e^{-i\frac{\beta}{\hbar} J_y} e^{-i\frac{\gamma}{\hbar} J_z} | j, m \rangle = e^{-i(m'\alpha + m\gamma)} \underbrace{\langle j, m' | e^{-i\frac{\beta}{\hbar} J_y} | j, m \rangle}_{d_{m',m}^{(j)}} \\ &= e^{-i(m'\alpha + m\gamma)} d_{m',m}^{(j)}(\beta) \end{aligned} \quad (2.9)$$

במקרים $j = \frac{1}{2}, 1$ אפשר לחשב את החלק הלא טריוויאלי של אלמנטי המטריצה $d_{m',m}^{(j)}$ ישירות, ב- j גדול יותר החישוב נעשה קשה יותר. $d_{m',m}^{(j)}(\beta)$ מופיע בטבלאות קלבש-גורדן. שימו לב שלא כל אלמנטי המטריצה כתובים במפורשות, ואת החסרים מוצאים בעזרת הקשרים (שגם מופיעים בטבלא)

$$d_{m',m}^{(j)} = (-1)^{m-m'} d_{m,m'}^{(j)} = d_{-m,-m'}^{(j)} \quad (2.10)$$

תרגיל 2

הראו כי סיבוב של האופרטור x בזווית $\theta = \pi/2$ נותן את האופרטור y .

נחשב את האופרטור x לאחר הפעלת טרנספורמצית סיבוב בזווית θ כלשהי סביב ציר \hat{z} , $\mathcal{D}(\hat{z}, \theta)$:

$$x \longrightarrow x' = \mathcal{D}x\mathcal{D}^\dagger = e^{-i\theta L_z/\hbar} x e^{i\theta L_z/\hbar} \quad (2.11)$$

כדי לחשב את x' נעזר בנוסחת BCH,

$$e^A B e^{-A} = B + [A, B] + \frac{1}{2!} [A, [A, B]] + \frac{1}{3!} [A, [A, [A, B]]] + \dots \quad (2.12)$$

נציב $B = x$ ו- $A = -i\theta L_z/\hbar$:

$$\mathcal{D}x\mathcal{D}^\dagger = x - \frac{i\theta}{\hbar} [L_z, x] + \frac{1}{2!} \left(\frac{i\theta}{\hbar}\right)^2 [L_z, [L_z, x]] - \frac{1}{3!} \left(\frac{i\theta}{\hbar}\right)^3 [L_z, [L_z, [L_z, x]]] + \dots \quad (2.13)$$

יחסי החילוף של $L_z = xp_y - yp_x$ עם x ו- y הם

$$\begin{aligned} [L_z, x] &= [xp_y - yp_x, x] = -y [p_x, x] = i\hbar y \\ [L_z, y] &= [xp_y - yp_x, y] = x [p_y, y] = -i\hbar x \end{aligned} \quad (2.14)$$

נציב ונקבל

$$\begin{aligned} \mathcal{D}x\mathcal{D}^\dagger &= x + \theta y - \frac{1}{2}\theta^2 x - \frac{1}{3!}\theta^3 y + \dots = \left(1 - \frac{1}{2}\theta^2 + \dots\right) x + \left(\theta - \frac{1}{3!}\theta^3 + \dots\right) y \\ \implies x' &= x \cos \theta + y \sin \theta \end{aligned} \quad (2.15)$$

בפרט, עבור $\theta = \pi/2$ נקבל

$$\boxed{x' = y} \quad (2.16)$$

כלומר, לאחר שסובבנו את מערכת הצירים ב- $\pi/2$ מעלות ציר x החדש הועתק לציר y המקורי.

תרגיל 3

ההמילטוניאן של חלקיק עם ספין $s = \frac{1}{2}$ נתון בבסיס המלכסן את S_z על-ידי המטריצה

$$H = \epsilon \begin{pmatrix} 0 & e^{i\pi/4} \\ e^{-i\pi/4} & 0 \end{pmatrix} \quad (2.17)$$

א. האם המערכת סימטרית תחת טרנספורמציות סיבוב כללית?

ב. מצאו את הטרנספורמציה המלכסנת את ההמילטוניאן. מהי טרנספורמציות הסיבוב המלכסנת את ההמילטוניאן? מצאו את זווית הסיבוב θ ואת ציר הסיבוב \hat{n} .

ג. האם המערכת סימטרית תחת סיבוב סביב הציר \hat{n} שמצאתם? אם לא, האם קיים ציר שטרנספורמציות סיבוב סביבו לא תשנה את ההמילטוניאן?

א. כל מטריצה הרמיטית ניתנת לפירוק של מטריצות פאולי, ולכן אפשר לראות ש- H הוא למעשה סיבוב של S :

$$H = \epsilon \begin{pmatrix} 0 & \frac{1+i}{\sqrt{2}} \\ \frac{1-i}{\sqrt{2}} & 0 \end{pmatrix} = \epsilon \left(\frac{1}{\sqrt{2}} \sigma_x - \frac{1}{\sqrt{2}} \sigma_y \right) = \epsilon \underbrace{\sigma \cdot \frac{\hat{x} - \hat{y}}{\sqrt{2}}}_{\hat{a}} = \frac{2\epsilon}{\hbar} \mathbf{S} \cdot \hat{a} \quad (2.18)$$

זו אינטראקציה דיפול מגנטי של החלקיק עם שדה מגנטי בכיוון $-\hat{a}$. יש ציר מועדף \hat{a} בבעיה, ולכן המערכת לא אינווריאנטית תחת סיבובים. בפרט, ניתן לראות ש- H לא מתחלף עם S_x , S_y או S_z .

ב. נלכסן את ההמילטוניאן: הע"ע הם כמובן $\pm\epsilon$, ומהו"ע אנחנו מזהים מיד את הטרנספורמציה המלכסנת

$$\begin{cases} |+\rangle = \frac{1}{\sqrt{2}} (|\uparrow\rangle + e^{-i\pi/4} |\downarrow\rangle) \\ |-\rangle = \frac{1}{\sqrt{2}} (-e^{i\pi/4} |\uparrow\rangle + |\downarrow\rangle) \end{cases} \Rightarrow U = \begin{pmatrix} \uparrow & \uparrow \\ \downarrow & \downarrow \end{pmatrix} = \frac{1}{\sqrt{2}} \begin{pmatrix} 1 & -\frac{1+i}{\sqrt{2}} \\ \frac{1-i}{\sqrt{2}} & 1 \end{pmatrix} \quad (2.19)$$

U היא טרנספורמציות הסיבוב המבוקשת, שכן

$$U = \frac{1}{\sqrt{2}} \mathbf{1} - \frac{i}{\sqrt{2}} \left(\frac{\sigma_x}{\sqrt{2}} + \frac{\sigma_y}{\sqrt{2}} \right) = \cos \frac{\theta}{2} - i (\sigma \cdot \hat{n}) \sin \frac{\theta}{2} = e^{-\frac{i}{2}\theta \sigma \cdot \hat{n}} = e^{-i\theta \mathbf{S} \cdot \hat{n}/\hbar} \quad (2.20)$$

זווית הסיבוב וציר הסיבוב הם

$$\theta = \frac{\pi}{2}, \quad \hat{n} = \frac{\hat{x} + \hat{y}}{\sqrt{2}} \quad (2.21)$$

אכן, אם נסובב את מערכת הצירים ב- $\pi/2$ סביב ציר \hat{n} החדש יפנה לכיוון \hat{a} .

ג. לא, כי $H \propto \mathbf{S} \cdot \hat{a}$ ולכן $[H, \mathcal{D}(\hat{n}, \theta)] \neq 0$, ובדיוק ראינו שסיבוב סביב \hat{n} הוא זה שלכסן את H מלכתחילה. המערכת אמנם לא סימטרית לכל הסיבובים, אך ברור שסיבובים סביב הציר המועדף \hat{a} לא ישנו דבר (ובפרט $[H, \mathcal{D}(\hat{a}, \theta)] = 0$).

$$\hat{a} = \frac{\hat{x} - \hat{y}}{\sqrt{2}} \quad (2.22)$$

תרגיל 4

א. חשבו את אלמנטי המטריצה $\mathcal{D}_{m',m}^{(j=\frac{1}{2})}(\alpha, \beta, \gamma)$.

ב. השתמשו ב- $\mathcal{D}_{m',m}^{(j=\frac{1}{2})}(\alpha, \beta, \gamma)$ כדי למצוא מצב ספין $|\uparrow_{\hat{n}}\rangle$ בכיוון כללי

$$\hat{n} = (\sin \theta \cos \varphi, \sin \theta \sin \varphi, \cos \theta) \quad (2.23)$$

בבסיס המלכסן את S_z .

א. אלמנטי המטריצה של אופרטור הסיבוב עבור תת-המרחב $j = \frac{1}{2}$ הם

$$\begin{aligned} \mathcal{D}_{m',m}^{(j=\frac{1}{2})}(\alpha, \beta, \gamma) &= e^{-i(m'\alpha+m\gamma)} d_{m',m}^{(1/2)}(\beta) = e^{-i(m'\alpha+m\gamma)} \langle \frac{1}{2}, m' | e^{-i\beta S_y/\hbar} | \frac{1}{2}, m \rangle \\ &= e^{-i(m'\alpha+m\gamma)} \langle \frac{1}{2}, m' | e^{-i\beta \sigma_y/2} | \frac{1}{2}, m \rangle \\ &= e^{-i(m'\alpha+m\gamma)} \langle \frac{1}{2}, m' | \cos(\frac{\beta}{2}) - i\sigma_y \sin(\frac{\beta}{2}) | \frac{1}{2}, m \rangle \\ &= \begin{pmatrix} \langle m' = +\frac{1}{2} | & \langle m = +\frac{1}{2} | & \langle m = -\frac{1}{2} | \\ e^{-\frac{i}{2}(\alpha+\gamma)} \cos(\frac{\beta}{2}) & -e^{-\frac{i}{2}(\alpha-\gamma)} \sin(\frac{\beta}{2}) \\ \langle m' = -\frac{1}{2} | & e^{\frac{i}{2}(\alpha-\gamma)} \sin(\frac{\beta}{2}) & e^{\frac{i}{2}(\alpha+\gamma)} \cos(\frac{\beta}{2}) \end{pmatrix} \end{aligned} \quad (2.24)$$

ניתן לוודא שהחישוב שקיבלנו תואם את הערכים בטבלאות קלבש-גורדן.

ב. מצב ספין $|\uparrow_{\hat{n}}\rangle$ בכיוון \hat{n} הוא למעשה סיבוב של $|\uparrow\rangle$ בכיוון \hat{z} עם זוויות אוילר $\alpha = \varphi, \beta = \theta, \gamma = 0$:

$$\begin{aligned} |\uparrow_{\hat{n}}\rangle &= \mathcal{D}_{m',m}^{(j=\frac{1}{2})}(\varphi, \theta, 0) |\uparrow\rangle = \begin{pmatrix} e^{-\frac{i}{2}\varphi} \cos(\frac{\theta}{2}) & -e^{-\frac{i}{2}\varphi} \sin(\frac{\theta}{2}) \\ e^{\frac{i}{2}\varphi} \sin(\frac{\theta}{2}) & e^{\frac{i}{2}\varphi} \cos(\frac{\theta}{2}) \end{pmatrix} \begin{pmatrix} 1 \\ 0 \end{pmatrix} \\ &= \begin{pmatrix} e^{-\frac{i}{2}\varphi} \cos(\frac{\theta}{2}) \\ e^{\frac{i}{2}\varphi} \sin(\frac{\theta}{2}) \end{pmatrix} = e^{\frac{i}{2}\varphi} \begin{pmatrix} e^{-i\varphi} \cos(\frac{\theta}{2}) \\ \sin(\frac{\theta}{2}) \end{pmatrix} \end{aligned}$$

זו בדיוק התוצאה שקיבלנו בתרגול הקודם, בלי שהיינו צריכים ללכסן את $\mathbf{S} \cdot \hat{n}$ בכלל. במקום לפתור את הבעיה מאפס, הבנו שרק צריך לסובב את הפתרון $|\uparrow_{\hat{z}}\rangle$ שכבר הכרנו בעבר.

תרגיל 5

לאורך כל השאלה נעבוד בבסיס $|j=1, m\rangle$ של המצבים העצמיים של J^2 ושל J_z , המוגבל לתת-המרחב $j=1$.

א. השתמשו בתכונות המטריצה המייצגת את J_y בתת-המרחב $j=1$ כדי להוכיח כי אופרטור הסיבוב סביב ציר \hat{y} הינו

$$\mathcal{D}(\hat{y}, \theta) = 1 - i \sin \theta \frac{J_y}{\hbar} + (\cos \theta - 1) \left(\frac{J_y}{\hbar} \right)^2 \quad (2.25)$$

ב. כתבו את המטריצה במפורש עבור זווית כללית. וודאו את התשובה עם טבלאות קלבש-גורדן.

ג. השתמשו במטריצת הסיבוב שחישבתם בסעיף הקודם כדי לסובב את הוקטורים העצמיים של J_z לקבלת הוקטורים העצמיים של J_x .

ד. הראו מפורשות כי הוקטורים שקיבלתם הם אכן הוקטורים העצמיים של J_x .

א. לחישוב $\mathcal{D}(\hat{y}, \theta) = \exp(-i\theta J_y/\hbar)$ צריך לחשב את כל החזקות של J_y , אבל למעשה צריך לחשב רק שתיים: אם נעבוד בבסיס המלכסן את J_y ,

$$\left[\frac{J_y}{\hbar} \right]_y = \begin{pmatrix} 1 & & \\ & 0 & \\ & & -1 \end{pmatrix} \Rightarrow \left[\left(\frac{J_y}{\hbar} \right)^3 \right]_y = \begin{pmatrix} 1 & & \\ & 0 & \\ & & -1 \end{pmatrix} = \left[\frac{J_y}{\hbar} \right]_y \quad (2.26)$$

התוצאה הזו לא תלויה בבסיס, כלומר מתקיים

$$\left(\frac{J_y}{\hbar} \right)^n = \begin{cases} J_y/\hbar & n \in \text{odd} \\ (J_y/\hbar)^2 & n \in \text{even} \end{cases} \quad (2.27)$$

החוקיות הזו מרמזת לנו שכדאי להפריד את הסכום באקספוננט לחזקות זוגיות ואי-זוגיות:

$$\begin{aligned} \mathcal{D}(\hat{y}, \theta) &= e^{-i\theta J_y/\hbar} = \sum_{n=0}^{\infty} \frac{(-i\theta)^n}{n!} \left(\frac{J_y}{\hbar} \right)^n \\ &= 1 + \sum_{n=1}^{\infty} \frac{(-i\theta)^{2n-1}}{(2n-1)!} \left(\frac{J_y}{\hbar} \right)^{2n-1} + \sum_{n=1}^{\infty} \frac{(-i\theta)^{2n}}{(2n)!} \left(\frac{J_y}{\hbar} \right)^{2n} \\ &= 1 - i \sum_{n=1}^{\infty} \frac{(-1)^{n-1} \theta^{2n-1}}{(2n-1)!} \left(\frac{J_y}{\hbar} \right) + \left[\sum_{n=0}^{\infty} \frac{(-1)^n \theta^{2n}}{(2n)!} - 1 \right] \left(\frac{J_y}{\hbar} \right)^2 \\ &= 1 - i \sin \theta \frac{J_y}{\hbar} + (\cos \theta - 1) \left(\frac{J_y}{\hbar} \right)^2 \end{aligned} \quad (2.28)$$

כנדרש.

ב. בש"ב תשתמשו בנוסחא שבדיוק הוכחנו כדי לחשב את המטריצה הזו במפורש. כרגע נשתמש בטבלת קלבש-גורדן כדי לכתוב את המטריצה. נכתוב את הרכיבים שנתונים במפורש,

$$\mathcal{D}(\hat{y}, \theta) = d_{m', m}^{(j=1)}(\theta) = \begin{pmatrix} \frac{1+\cos \theta}{2} & -\frac{\sin \theta}{\sqrt{2}} & \frac{1-\cos \theta}{2} \\ & \cos \theta & \\ & & \end{pmatrix} \quad (2.29)$$

לפי הנוסחא $d_{m',m}^{(j)} = (-1)^{m-m'} d_{m,m'}^{(j)}$ אנחנו מבינים ש- $d_{0,1}^{(1)} = -d_{1,0}^{(1)}$ ו- $d_{1,-1}^{(1)} = d_{-1,1}^{(1)}$ כלומר

$$d_{m',m}^{(j=1)}(\theta) = \begin{pmatrix} \frac{1+\cos\theta}{2} & -\frac{\sin\theta}{\sqrt{2}} & \frac{1-\cos\theta}{2} \\ \frac{\sin\theta}{\sqrt{2}} & \cos\theta & \\ \frac{1-\cos\theta}{2} & & \end{pmatrix} \quad (2.30)$$

מהנוסחא $d_{m',m}^{(j)} = d_{-m,-m'}^{(j)}$ אנחנו יודעים ש- $d_{1,0}^{(1)} = d_{0,-1}^{(1)}$, $d_{0,1}^{(1)} = d_{-1,0}^{(1)}$ וגם $d_{1,1}^{(1)} = d_{-1,-1}^{(1)}$ וקיבלנו

$$d_{m',m}^{(j=1)}(\theta) = \begin{pmatrix} \frac{1+\cos\theta}{2} & -\frac{\sin\theta}{\sqrt{2}} & \frac{1-\cos\theta}{2} \\ \frac{\sin\theta}{\sqrt{2}} & \cos\theta & -\frac{\sin\theta}{\sqrt{2}} \\ \frac{1-\cos\theta}{2} & \frac{\sin\theta}{\sqrt{2}} & \frac{1+\cos\theta}{2} \end{pmatrix} \quad (2.31)$$

ג. סיבוב סביב ציר $\hat{\mathbf{y}}$ בזווית $\pi/2$ יסובב את ה"ע של J_z לכיוון $\hat{\mathbf{x}}$ כך שיהיו ה"ע של J_x . מהסעיף הקודם אנחנו יודעים את $\mathcal{D}(\hat{\mathbf{y}}, \pi/2)$

$$\mathcal{D}\left(\hat{\mathbf{y}}, \frac{\pi}{2}\right) = \frac{1}{2} \begin{pmatrix} 1 & -\sqrt{2} & 1 \\ \sqrt{2} & 0 & -\sqrt{2} \\ 1 & \sqrt{2} & 1 \end{pmatrix} \quad (2.32)$$

ונפעיל אותה על ה"ע של J_z . ה"ע של J_x הם העמודות של $\mathcal{D}(\hat{\mathbf{y}}, \pi/2)$:

$$\begin{aligned} \mathcal{D}\left(\hat{\mathbf{y}}, \frac{\pi}{2}\right) \left\{ \begin{pmatrix} 1 \\ 0 \\ 0 \end{pmatrix}, \begin{pmatrix} 0 \\ 1 \\ 0 \end{pmatrix}, \begin{pmatrix} 0 \\ 0 \\ 1 \end{pmatrix} \right\} &= \left\{ \frac{1}{2} \begin{pmatrix} 1 \\ \sqrt{2} \\ 1 \end{pmatrix}, \frac{1}{2} \begin{pmatrix} -\sqrt{2} \\ 0 \\ \sqrt{2} \end{pmatrix}, \frac{1}{2} \begin{pmatrix} 1 \\ -\sqrt{2} \\ 1 \end{pmatrix} \right\} \\ &= \{|1, 1_x\rangle, |1, 0_x\rangle, |1, -1_x\rangle\} \end{aligned} \quad (2.33)$$

ד. נשתמש בפירוק $J_x = \frac{J_+ + J_-}{2}$ ונפעיל על $|1, 1_x\rangle$ בבסיס של J_z :

$$\begin{aligned} J_x |1, 1_x\rangle &= \frac{J_+ + J_-}{4} (|1, 1_z\rangle + \sqrt{2}|1, 0_z\rangle + |1, -1_z\rangle) \\ &= \frac{\hbar}{4} (2|1, 1_z\rangle + 2\sqrt{2}|1, 0_z\rangle + 2|1, -1_z\rangle) \\ &= \hbar \cdot \frac{1}{2} \begin{pmatrix} 1 \\ \sqrt{2} \\ 1 \end{pmatrix} = \hbar |1, 1_x\rangle \end{aligned} \quad (2.34)$$

ובאופן דומה אפשר לבדוק את שאר הוקטורים...

45. Clebsch-Gordan Coefficients, Spherical Harmonics, and d Functions

Note: A square-root sign is to be understood over *every* coefficient, e.g., for $-8/15$ read $-\sqrt{8/15}$.

Notation:

J	J	...
M	M	...
m_1	m_2	...
m_1	m_2	...
...
...
...

Coefficients

$1/2 \times 1/2$

1	0	0
+1/2	-1/2	1/2
-1/2	+1/2	-1/2
-1/2	-1/2	1

 $Y_1^0 = \sqrt{\frac{3}{4\pi}} \cos \theta$
 $2 \times 1/2$

5/2	3/2	1/2
+5/2	1	3/2
+2	-1/2	1/5
+1	+1/2	4/5
0	+1/2	3/5
0	-1/2	2/5
-1	+1/2	3/5
-1	-1/2	2/5
-2	-1/2	1/5

 $Y_1^1 = -\sqrt{\frac{3}{8\pi}} \sin \theta e^{i\phi}$
 $Y_2^0 = \sqrt{\frac{5}{4\pi}} \left(\frac{3}{2} \cos^2 \theta - \frac{1}{2} \right)$
 $Y_2^1 = -\sqrt{\frac{15}{8\pi}} \sin \theta \cos \theta e^{i\phi}$
 $Y_2^2 = \frac{1}{4} \sqrt{\frac{15}{2\pi}} \sin^2 \theta e^{2i\phi}$
 $3/2 \times 1/2$

2	1	1
+3/2	+1/2	1
+3/2	-1/2	1/4
+1/2	+1/2	3/4
0	0	2
0	-1/2	1/2
-1/2	+1/2	1/2
-1/2	-1/2	1
-3/2	-1/2	1

 $1 \times 1/2$

3/2	1/2	1/2
+3/2	1	1/2
+1	-1/2	1/3
0	+1/2	2/3
0	-1/2	2/3
-1	+1/2	1/3
-1	-1/2	1

 2×1

3	2	1
+3	2	1
+2	0	1/3
+1	+1	2/3
0	0	2/3
0	-1	1/3
-1	+1	1
-1	0	2/3
-2	0	1/3
-2	-1	1

 $3/2 \times 1$

5/2	3/2	1/2
+5/2	1	3/2
+3/2	0	2/5
+1/2	+1	3/5
0	0	2/5
0	-1	1/5
-1/2	+1	3/5
-1/2	0	2/5
-3/2	+1	1/5
-3/2	0	2/5
-5/2	0	1/5

 1×1

2	1	1
+2	1	1
+1	0	1/2
0	+1	1/2
0	0	2
-1	+1	1/2
-1	0	1/2
-2	0	1
-2	-1	1
-3	-1	1

 $Y_\ell^{-m} = (-1)^m Y_\ell^{m*}$
 $d_{\ell,0}^\ell = \sqrt{\frac{4\pi}{2\ell+1}} Y_\ell^m e^{-im\phi}$
 $\langle j_1 j_2 m_1 m_2 | j_1 j_2 JM \rangle = (-1)^{J-j_1-j_2} \langle j_2 j_1 m_2 m_1 | j_2 j_1 JM \rangle$
 $d_{m',m}^j = (-1)^{m-m'} d_{m,m'}^j = d_{-m,-m'}^j$
 $3/2 \times 3/2$

3	2	1
+3	2	1
+3/2	+1/2	1/2
+1/2	+3/2	1/2
0	0	3
0	-1/2	1/2
-1/2	+3/2	1/2
-1/2	0	3
-3/2	+1/2	1/2
-3/2	0	3
-5/2	0	1/2

 $d_{0,0}^1 = \cos \theta$
 $d_{1/2,1/2}^{1/2} = \cos \frac{\theta}{2}$
 $d_{1,1}^1 = \frac{1+\cos \theta}{2}$
 $d_{1/2,-1/2}^{1/2} = -\sin \frac{\theta}{2}$
 $d_{1,0}^1 = -\frac{\sin \theta}{\sqrt{2}}$
 $d_{1,-1}^1 = \frac{1-\cos \theta}{2}$
 $2 \times 3/2$

7/2	5/2	3/2	1/2
+7/2	5/2	3/2	1/2
+2	+3/2	1	3/2
+2	+1/2	3/7	4/7
+1	+3/2	4/7	-3/7
0	0	2/7	-18/35
0	-1/2	1/7	16/35
-1	+3/2	1/35	6/35
-1	+1/2	12/35	5/14
-2	+3/2	18/35	-3/35
-2	+1/2	4/35	-27/70
-3	0	1/70	1/10
-3	-1/2	8/35	2/5
-5	0	1/70	-1/10
-5	-1/2	8/35	-2/5
-7	0	1/70	-1/10

 2×2

4	3	2	1
+4	3	2	1
+2	+1	1/2	1/2
+1	+2	1/2	-1/2
0	0	3/14	1/2
0	-1	4/7	0
-1	+2	3/14	-1/2
-1	+1	1/14	3/10
-2	+2	3/7	1/5
-2	+1	3/7	-1/5
-3	0	1/14	3/10
-3	-1	1/70	1/10
-4	0	1/70	-1/10
-4	-1	8/35	2/5
-5	0	1/70	-1/10
-5	-1	8/35	-2/5
-6	0	1/70	-1/10
-6	-1	8/35	-2/5
-7	0	1/70	-1/10
-7	-1	8/35	-2/5
-8	0	1/70	-1/10
-8	-1	8/35	-2/5
-9	0	1/70	-1/10
-9	-1	8/35	-2/5
-10	0	1/70	-1/10
-10	-1	8/35	-2/5
-11	0	1/70	-1/10
-11	-1	8/35	-2/5
-12	0	1/70	-1/10
-12	-1	8/35	-2/5
-13	0	1/70	-1/10
-13	-1	8/35	-2/5
-14	0	1/70	-1/10
-14	-1	8/35	-2/5
-15	0	1/70	-1/10
-15	-1	8/35	-2/5
-16	0	1/70	-1/10
-16	-1	8/35	-2/5
-17	0	1/70	-1/10
-17	-1	8/35	-2/5
-18	0	1/70	-1/10
-18	-1	8/35	-2/5
-19	0	1/70	-1/10
-19	-1	8/35	-2/5
-20	0	1/70	-1/10
-20	-1	8/35	-2/5
-21	0	1/70	-1/10
-21	-1	8/35	-2/5
-22	0	1/70	-1/10
-22	-1	8/35	-2/5
-23	0	1/70	-1/10
-23	-1	8/35	-2/5
-24	0	1/70	-1/10
-24	-1	8/35	-2/5
-25	0	1/70	-1/10
-25	-1	8/35	-2/5
-26	0	1/70	-1/10
-26	-1	8/35	-2/5
-27	0	1/70	-1/10
-27	-1	8/35	-2/5
-28	0	1/70	-1/10
-28	-1	8/35	-2/5
-29	0	1/70	-1/10
-29	-1	8/35	-2/5
-30	0	1/70	-1/10
-30	-1	8/35	-2/5
-31	0	1/70	-1/10
-31	-1	8/35	-2/5
-32	0	1/70	-1/10
-32	-1	8/35	-2/5
-33	0	1/70	-1/10
-33	-1	8/35	-2/5
-34	0	1/70	-1/10
-34	-1	8/35	-2/5
-35	0	1/70	-1/10
-35	-1	8/35	-2/5
-36	0	1/70	-1/10
-36	-1	8/35	-2/5
-37	0	1/70	-1/10
-37	-1	8/35	-2/5
-38	0	1/70	-1/10
-38	-1	8/35	-2/5
-39	0	1/70	-1/10
-39	-1	8/35	-2/5
-40	0	1/70	-1/10
-40	-1	8/35	-2/5
-41	0	1/70	-1/10
-41	-1	8/35	-2/5
-42	0	1/70	-1/10
-42	-1	8/35	-2/5
-43	0	1/70	-1/10
-43	-1	8/35	-2/5
-44	0	1/70	-1/10
-44	-1	8/35	-2/5
-45	0	1/70	-1/10
-45	-1	8/35	-2/5
-46	0	1/70	-1/10
-46	-1	8/35	-2/5
-47	0	1/70	-1/10
-47	-1	8/35	-2/5
-48	0	1/70	-1/10
-48	-1	8/35	-2/5
-49	0	1/70	-1/10
-49	-1	8/35	-2/5
-50	0	1/70	-1/10
-50	-1	8/35	-2/5
-51	0	1/70	-1/10
-51	-1	8/35	-2/5
-52	0	1/70	-1/10
-52	-1	8/35	-2/5
-53	0	1/70	-1/10
-53	-1	8/35	-2/5
-54	0	1/70	-1/10
-54	-1	8/35	-2/5
-55	0	1/70	-1/10
-55	-1	8/35	-2/5
-56	0	1/70	-1/10
-56	-1	8/35	-2/5
-57	0	1/70	-1/10
-57	-1	8/35	-2/5
-58	0	1/70	-1/10
-58	-1	8/35	-2/5
-59	0	1/70	-1/10
-59	-1	8/35	-2/5
-60	0	1/70	-1/10
-60	-1	8/35	-2/5
-61	0	1/70	-1/10
-61	-1	8/35	-2/5
-62	0	1/70	-1/10
-62	-1	8/35	-2/5
-63	0	1/70	-1/10
-63	-1	8/35	-2/5
-64	0	1/70	-1/10
-64	-1	8/35	-2/5
-65	0	1/70	-1/10
-65	-1	8/35	-2/5
-66	0	1/70	-1/10
-66	-1	8/35	-2/5
-67	0	1/70	-1/10
-67	-1	8/35	-2/5
-68	0	1/70	-1/10
-68	-1	8/35	-2/5
-69	0	1/70	-1/10
-69	-1	8/35	-2/5
-70	0	1/70	-1/10
-70	-1	8/35	-2/5
-71	0	1/70	-1/10
-71	-1	8/35	-2/5
-72	0	1/70	-1/10
-72	-1	8/35	-2/5
-73	0	1/70	-1/10
-73	-1	8/35	-2/5
-74	0	1/70	-1/10
-74	-1	8/35	-2/5
-75	0	1/70	-1/10
-75	-1	8/35	-2/5
-76	0	1/70	-1/10
-76	-1	8/35	-2/5
-77	0	1/70	-1/10
-77	-1	8/35	-2/5
-78	0	1/70	-1/10
-78	-1	8/35	-2/5
-79	0	1/70	-1/10
-79	-1	8/35	-2/5
-80	0	1/70	-1/10
-80	-1	8/35	-2/5
-81	0	1/70	-1/10
-81	-1	8/35	-2/5
-82	0	1/70	-1/10
-82	-1	8/35	-2/5
-83	0	1/70	-1/10
-83	-1	8/35	-2/5
-84	0	1/70	-1/10
-84	-1	8/35	-2/5
-85	0	1/70	-1/10
-85	-1	8/35	-2/5
-86	0	1/70	-1/10
-86	-1	8/35	-2/5
-87	0	1/70	-1/10
-87	-1	8/35	-2/5
-88	0	1/70	-1/10
-88	-1	8/35	-2/5
-89	0	1/70	-1/10
-89	-1	8/35	-2/5
-90	0	1/70	-1/10
-90	-1	8/35	-2/5
-91	0	1/70	-1/10
-91	-1	8/35	-2/5
-92	0	1/70	-1/10
-92	-1	8/35	-2/5
-93	0	1/70	-1/10
-93	-1	8/35	-2/5
-94	0	1/70	-1/10
-94	-1	8/35	-2/5
-95	0	1/70	-1/10
-95	-1	8/35	-2/5
-96	0	1/70	-1/10
-96	-1	8/35	-2/5
-97	0	1/70	-1/10
-97	-1	8/35	-2/5
-98	0	1/70	-1/10
-98	-1	8/35	-2/5
-99	0	1/70	-1/10
-99	-1	8/35	-2/5
-100	0	1/70	-1/10
-100	-1	8/35	-2/5
-101	0	1/70	-1/10
-101	-1	8/35	-2/5
-102	0	1/70	-1/10
-102	-1	8/35	-2/5
-103	0	1/70	-1/10
-103	-1	8/35	-2/5
-104	0	1/70	-1/10
-104	-1	8/35	-2/5
-105	0	1/70	-1/10
-105	-1	8/35	-2/5
-106	0	1/70	-1/10
-106	-1	8/35	-2/5
-107	0	1/70	-1/10
-107	-1	8/35	-2/5
-108	0	1/70	-1/10
-108	-1	8/35	-2/5
-109	0	1/70	-1/10
-109	-1	8/35	-2/5
-110	0	1/70	-1/10
-110	-1	8/35	-2/5
-111	0	1/70	-1/10
-111	-1	8/35	-2/5
-112	0	1/70	-1/10
-112	-1	8/35	-2/5
-113	0	1/70	-1/10
-113	-1	8/35	-2/5
-114	0	1/70	-1/10
-114	-1	8/35	-2/5
-115	0	1/70	-1/10
-115	-1	8/35	-2/5
-116	0	1/70	-1/10
-116	-1	8/35	-2/5
-117	0	1/70	-1/10
-117	-1	8/35	-2/5
-118	0	1/70	-1/10
-118	-1	8/35	-2/5
-119	0	1/70	-1/10
-119	-1	8/35	-2/5
-120	0	1/70	-1/10
-120	-1	8/35	-2/5
-121	0	1/70	-1/10
-121			